

Onda stazionaria viaggiante

Dominio dei fasori

$$V(z) = V^+ (1 - \rho(0)) e^{-j\beta z} + 2V^+ \rho(0) \cos \beta z$$

$$I(z) = \frac{V^+}{Z_0} (1 - \rho(0)) e^{-j\beta z} - \frac{2jV^+}{Z_0} \rho(0) \sin \beta z$$

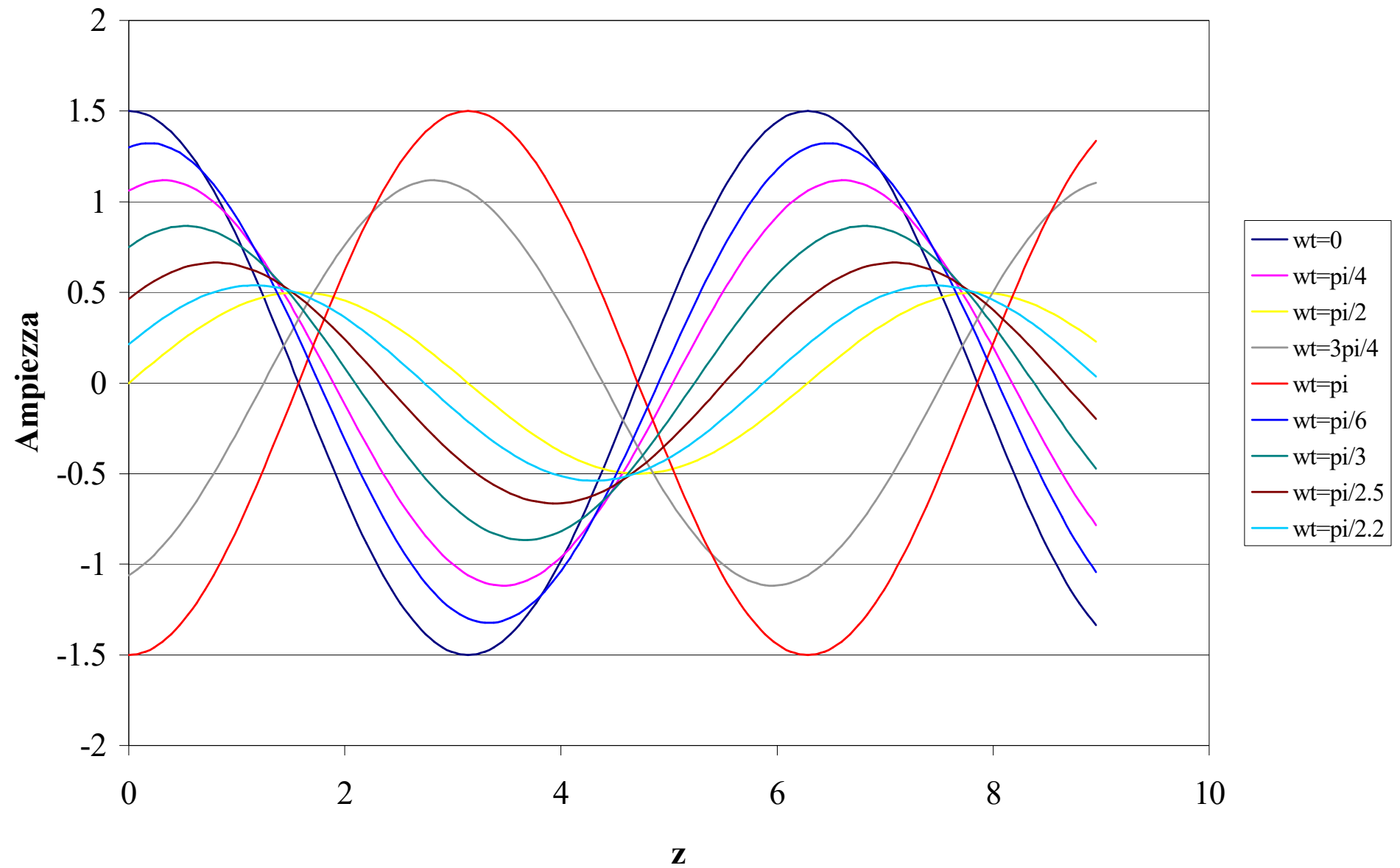
Dominio del tempo

$$V(z) = V^+ (1 - \rho(0)) \cos(\omega t - \beta z) + 2V^+ \rho(0) \cos \beta z \cos(\omega t)$$

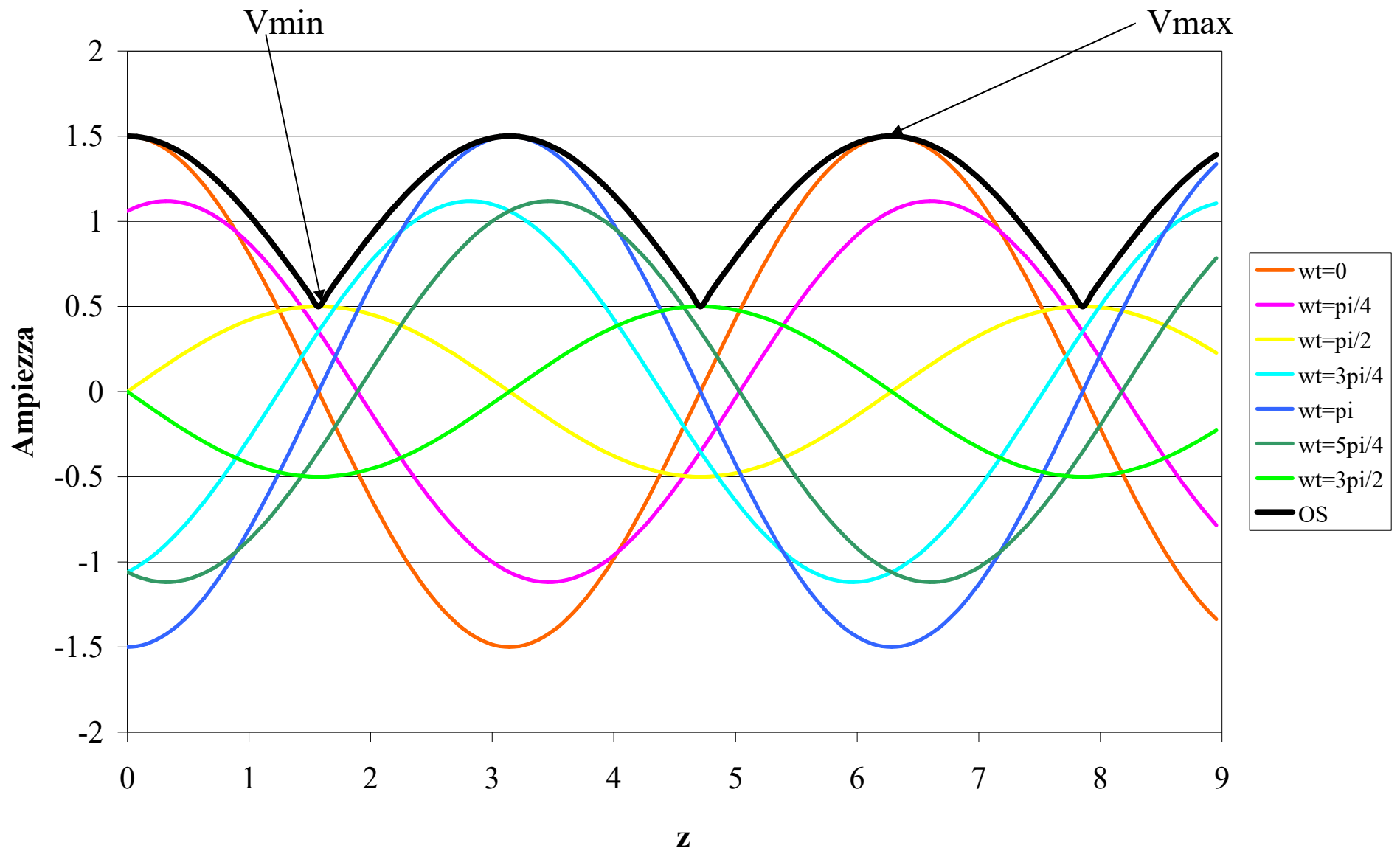
ES: $V^+ = 1 \quad \rho(0) = 0.5$

$$V(z) = 0.5 \cos(\omega t - \beta z) + \cos \beta z \cos(\omega t)$$

Onda stazionaria viaggiante



Onda stazionaria viaggiante



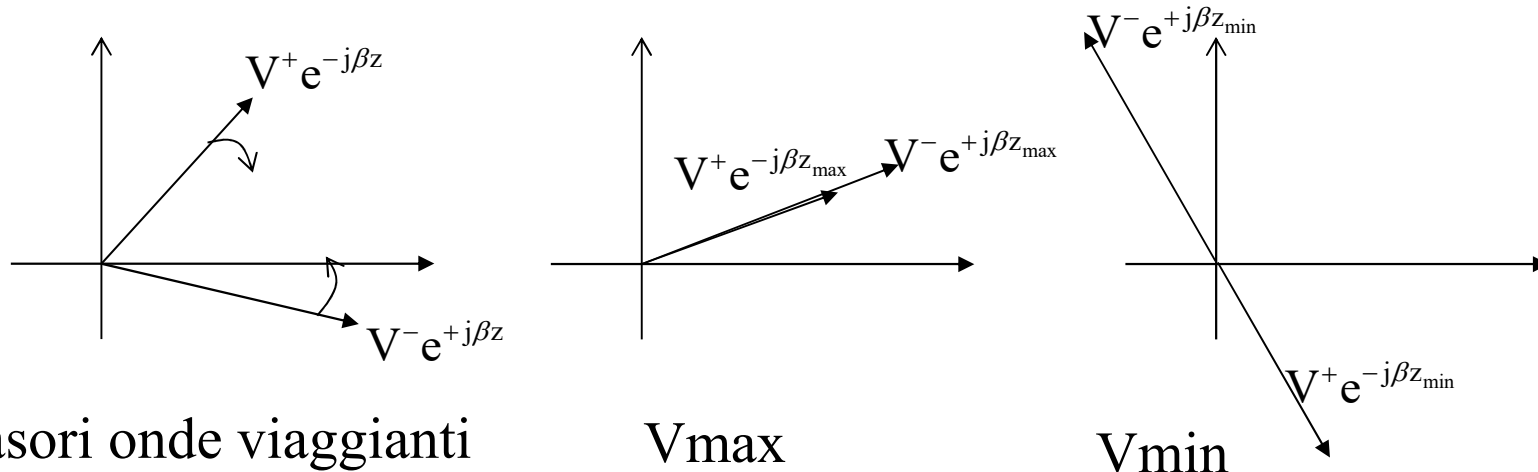
Il rapporto d'onda stazionaria

- Quando ci sono onde progressive e regressive, in alcuni punti interferiranno in modo costruttivo, ed in altri in modo distruttivo
- Daranno quindi origine a massimi in caso di interferenza costruttiva, cioè quando per $V^+ e^{-j\beta z}$ e $V^- e^{j\beta z}$ sono in fase; in tal caso avremo un massimo di tensione

$$V_{\max} = |V^+| + |V^-|$$

- Viceversa avremo un minimo quando sono in controfase

$$V_{\min} = |V^+| - |V^-|$$



Il rapporto d'onda stazionaria

- Il rapporto tra la massima e la minima tensione si definisce Rapporto d'Onda Stazionaria (ROS, o VSWR, voltage standing wave ratio)

$$S = \text{VSWR} \triangleq \frac{|V(z)|_{\max}}{|V(z)|_{\min}} = \frac{|V^+| + |V^-|}{|V^+| - |V^-|} = \frac{1 + |\rho(0)|}{1 - |\rho(0)|}$$

$$0 \leq |\rho(0)| \leq 1$$

$$1 \leq \text{VSWR} \leq \infty$$

- Dove le onde di tensione sono in fase, quelle di corrente sono in controfase e viceversa (c'è un segno meno nella sovrapposizione delle correnti, ricordate?)
- In pratica in ogni punto in cui la tensione totale vale V_{\max} , la corrente è I_{\min} e viceversa

Il rapporto d'onda stazionaria

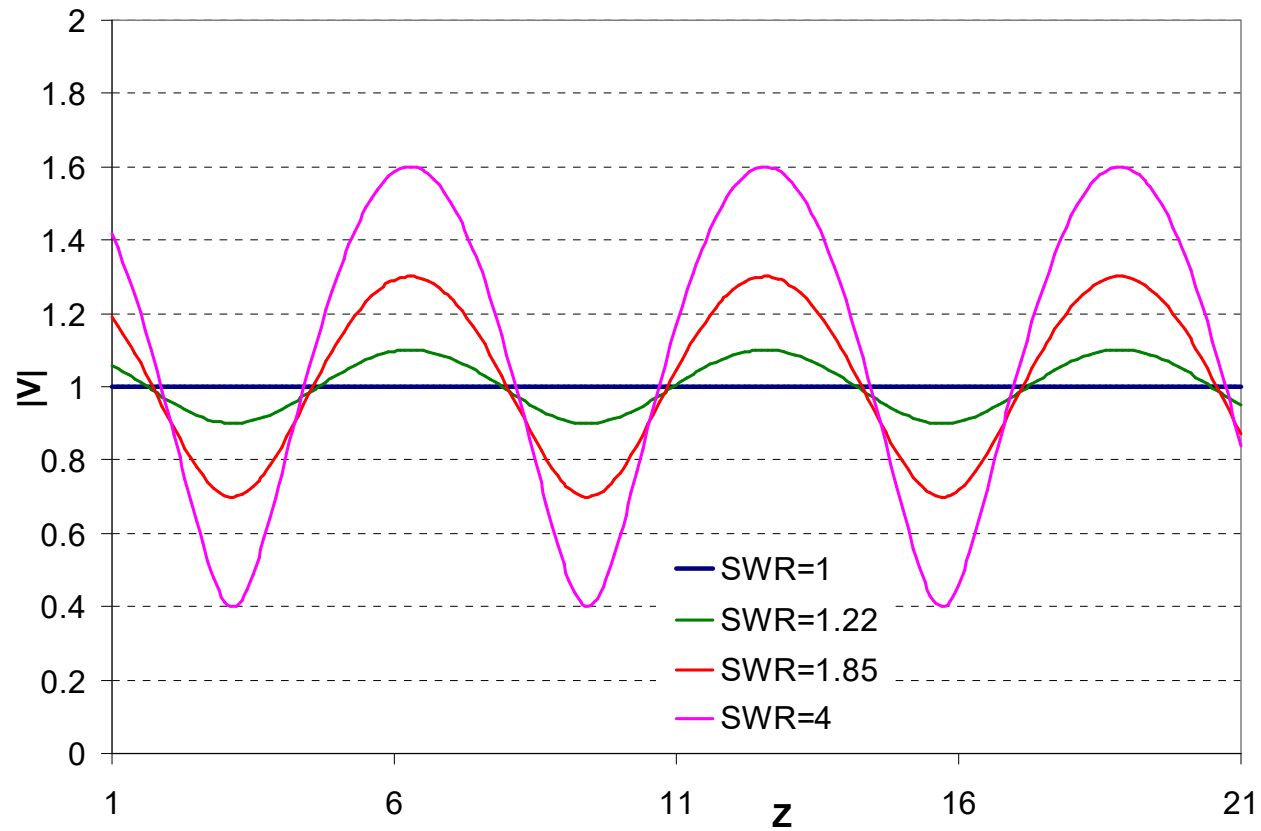
- Se la tensione è massima e la corrente è minima, il loro rapporto è massimo: in quel punto l'impedenza di ingresso calcolata è massima e reale

$$Z_{\max} = \frac{V_{\max}}{I_{\min}} = \frac{\frac{|v^+| + |v^-|}{Z_0}}{\frac{|v^+| - |v^-|}{Z_0}} = Z_0 S$$

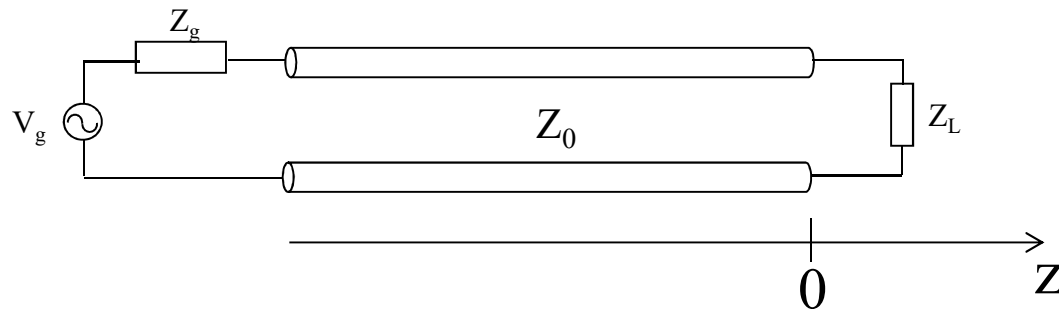
- Viceversa, nei punti di minimo di tensione l'impedenza è minima

$$Z_{\min} = \frac{V_{\min}}{I_{\max}} = \frac{\frac{|v^+| - |v^-|}{Z_0}}{\frac{|v^+| + |v^-|}{Z_0}} = \frac{Z_0}{S}$$

Ampiezza della tensione lungo una linea per diversi valori di ROS



Posizione massimi e minimi



$$V_{inc} = V^+ e^{-j\beta z}$$

$$V_{rif} = V^- e^{j\beta z} = V^+ \rho e^{j\beta z} = V^+ |\rho| e^{j\varphi_L} e^{j\beta z}$$

Massimi \longrightarrow V_{inc} e V_{rif} sono in fase $\longrightarrow -\beta z = \varphi_L + \beta z + 2N\pi$

Minimi \longrightarrow V_{inc} e V_{rif} sono in opposizione di fase $\longrightarrow -\beta z = \varphi_L + \beta z + (2N + 1)\pi$

Massimi \longrightarrow
$$z = -\left(\frac{\varphi_L}{4\pi} + \frac{N}{2}\right)\lambda$$

Minimi \longrightarrow
$$z = -\left(\frac{\varphi_L}{4\pi} + \frac{2N + 1}{4}\right)\lambda$$

Potenza in una linea 1/3

Consideriamo una linea di impedenza caratteristica Z_0 chiusa su di un carico Z_L . Le espressioni della tensione e della corrente sono:

$$V(z) = V^+ e^{-j\beta z} + V^- e^{j\beta z} = V^+ \left(e^{-j\beta z} + \rho_L e^{j\beta z} \right) = V^+ \left(e^{-j\beta z} + |\rho_L| e^{j\varphi_L} e^{j\beta z} \right)$$

$$I(z) = \frac{V^+ e^{-j\beta z}}{Z_0} - \frac{V^- e^{j\beta z}}{Z_0} = \frac{V^+}{Z_0} \left(e^{-j\beta z} - \rho_L e^{j\beta z} \right) = \frac{V^+}{Z_0} \left(e^{-j\beta z} - |\rho_L| e^{j\varphi_L} e^{j\beta z} \right)$$

La potenza complessa N trasportata lungo la linea vale:

$$\begin{aligned} N(z) &= P(z) + jQ(z) = \frac{1}{2} V(z) I^*(z) \\ &= \frac{1}{2} V^+ \left(e^{-j\beta z} + |\rho_L| e^{j\varphi_L} e^{j\beta z} \right) \left(\frac{V^+}{Z_0} \right)^* \left(e^{-j\beta z} - |\rho_L| e^{j\varphi_L} e^{j\beta z} \right)^* \end{aligned}$$

Potenza in una linea 2/3

La potenza complessa N trasportata lungo la linea vale:

$$\begin{aligned} N(z) &= \frac{1}{2} V(z) I^*(z) = \frac{|V^+|^2}{2Z_0} \left(e^{-j\beta z} + |\rho_L| e^{j\varphi_L} e^{j\beta z} \right) \left(e^{j\beta z} - |\rho_L| e^{-j\varphi_L} e^{-j\beta z} \right) = \\ &= \frac{|V^+|^2}{2Z_0} \left[1 - |\rho_L|^2 + |\rho_L| \left(e^{j\varphi_L} e^{2j\beta z} - e^{-j\varphi_L} e^{2j\beta z} \right) \right] = \\ &= \frac{|V^+|^2}{2Z_0} \left[1 - |\rho_L|^2 + 2j|\rho_L| \sin(\varphi_L + 2\beta z) \right] = P + jQ \end{aligned}$$

Potenza in una linea 3/3

La potenza complessa N trasportata lungo la linea vale:

$$P = \frac{|V^+|^2}{2Z_0} [1 - |\rho_L|^2] = \frac{|V^+|^2}{2Z_0} - \frac{|V^-|^2}{2Z_0} = P^+ - P^- \quad \text{costante in ogni sezione}$$

$$Q(z = -L) = |V^+|^2 \frac{|\rho_L|}{Z_0} \sin(\varphi_L - 2\beta L)$$

Quindi, la potenza attiva rimane costante lungo la linea, mentre quella reattiva varia lungo di essa, mostrando che c'è un continuo scambio di energia reattiva tra la parte induttiva e quella capacitiva della linea.

Esempi: carico adattato

Si definisce carico adattato una impedenza di carico di valore uguale all'impedenza caratteristica della linea a cui è collegato:

$$Z_L = Z_0 \Rightarrow \begin{cases} \rho_L = \frac{Z_L - Z_0}{Z_L + Z_0} = 0 \Rightarrow \rho(-L) = \rho_L e^{-2j\beta L} = 0 \\ Z_{\text{ing}} = Z_0 \frac{Z_L \cos(\beta L) + jZ_0 \sin(\beta L)}{Z_0 \cos(\beta L) + jZ_L \sin(\beta L)} = Z_0 \end{cases}$$

Se il carico è adattato alla linea, non vi sono onde riflesse e l'impedenza di ingresso coincide sempre con l'impedenza caratteristica (=impedenza di carico) in ogni sezione della linea. La potenza complessa vale:

$$P = \frac{|V^+|^2}{2Z_0} = P^+ \quad Q = 0$$

Tutta la potenza attiva che entra all'ingresso della linea associata all'onda progressiva giunge interamente sul carico. Non c'è potenza reattiva.

Esempi: carico disadattato reale 1/2

$$Z_L = R_L \Rightarrow \begin{cases} \rho_L = \frac{Z_L - Z_0}{Z_L + Z_0} \in \Re \Rightarrow \rho(-L) = \pm |\rho_L| e^{-2j\beta L} \\ Z_{\text{ing}} = Z_0 \frac{Z_L \cos(\beta L) + jZ_0 \sin(\beta L)}{Z_0 \cos(\beta L) + jZ_L \sin(\beta L)} = R_{\text{ing}} + jX_{\text{ing}} \end{cases}$$

In questo caso, il coefficiente di riflessione sul carico è puramente reale (positivo o negativo), mentre l'impedenza di ingresso è una quantità complessa. La potenza complessa vale:

$$P = \frac{|V^+|^2}{2Z_0} [1 - |\rho_L|^2] = P^+ - P^- \quad Q(z = -L) = \mp |V^+|^2 \frac{|\rho_L|}{Z_0} \sin(2\beta L)$$

Esempi: carico disadattato reale 2/2

$$P = \frac{|V^+|^2}{2Z_0} [1 - |\rho_L|^2] = P^+ - P^- \quad Q(z = -L) = \mp |V^+|^2 \frac{|\rho_L|}{Z_0} \sin(2\beta L)$$

La potenza attiva che entra all'ingresso della linea associata all'onda progressiva giunge sul carico e viene parzialmente riflessa.

La potenza attiva totale presente in una generica sezione della linea è pari alla differenza tra la potenza associata all'onda progressiva e quella associata all'onda regressiva.

In questo caso è presente anche una potenza reattiva che varia lungo la linea oscillando tra valori induttivi a capacitivi e viceversa. Si osservi che la potenza reattiva sul carico è nulla.

Esempi: carico nullo – corto circuito

1/2

$$Z_L = 0 \Rightarrow \left\{ \begin{array}{l} \rho_L = \frac{Z_L - Z_0}{Z_L + Z_0} = -1 \Rightarrow \rho(-L) = -e^{-2j\beta L} \\ Z_{\text{ing}} = Z_0 \frac{Z_L \cos(\beta L) + jZ_0 \sin(\beta L)}{Z_0 \cos(\beta L) + jZ_L \sin(\beta L)} = jZ_0 \tan(\beta L) \end{array} \right.$$

Se il carico è un corto circuito, l'onda riflessa sul carico è pari all'opposto dell'onda incidente e l'impedenza di ingresso è sempre puramente immaginaria in ogni sezione della linea. La potenza complessa vale:

$$P = \frac{|V^+|^2}{2Z_0} [1 - |\rho_L|^2] = 0 \Rightarrow P^- = -P^+ \quad Q(z = -L) = |V^+|^2 \frac{\sin(\varphi_L - 2\beta L)}{Z_0}$$

Tutta la potenza attiva che entra all'ingresso della linea associata all'onda progressiva viene completamente riflessa dal carico e la potenza attiva fornita al carico è nulla (come del resto deve avvenire per un corto circuito). Nella linea è presente soltanto potenza reattiva.

Esempi: carico nullo – corto circuito

2/2

[APPLET: onda stazionaria da un corto circuito](http://www.falstad.com/circuit/e-tlstand.html)

<http://www.falstad.com/circuit/e-tlstand.html>

Esempi: carico infinito – circuito aperto

$$Z_L = \infty \Rightarrow \left\{ \begin{array}{l} \rho_L = \frac{Z_L - Z_0}{Z_L + Z_0} = 1 \Rightarrow \rho(-L) = e^{-2j\beta L} \\ Z_{\text{ing}} = Z_0 \frac{Z_L \cos(\beta L) + jZ_0 \sin(\beta L)}{Z_0 \cos(\beta L) + jZ_L \sin(\beta L)} = -j \frac{Z_0}{\tan(\beta L)} \end{array} \right.$$

Se il carico è un circuito aperto, l'onda riflessa sul carico è pari all'onda incidente e l'impedenza di ingresso è sempre puramente immaginaria in ogni sezione della linea. La potenza complessa vale:

$$P = \frac{|V^+|^2}{2Z_0} [1 - |\rho_L|^2] = 0 \Rightarrow P^- = -P^+ \quad Q(z = -L) = |V^+|^2 \frac{\sin(\varphi_L - 2\beta L)}{Z_0}$$

Tutta la potenza attiva che entra all'ingresso della linea associata all'onda progressiva viene completamente riflessa dal carico e la potenza attiva fornita al carico è nulla (come del resto deve avvenire per un circuito aperto). Nella linea è presente soltanto potenza reattiva.

Esempi: carico disadattato immaginario 1/2

$$Z_L = jX_L \Rightarrow \begin{cases} \rho_L = \frac{Z_L - Z_0}{Z_L + Z_0} = e^{j\varphi_L} \Rightarrow \rho(-L) = e^{j\varphi_L} e^{-2j\beta L} & |\rho(-L)| = 1 \\ Z_{\text{ing}} = Z_0 \frac{Z_L \cos(\beta L) + jZ_0 \sin(\beta L)}{Z_0 \cos(\beta L) + jZ_L \sin(\beta L)} = jX_{\text{ing}} \end{cases}$$

In questo caso, il coefficiente di riflessione sul carico è dotato di modulo unitario, mentre l'impedenza di ingresso è una quantità puramente immaginaria. La potenza complessa vale:

$$P = \frac{|V^+|^2}{2Z_0} [1 - |\rho_L|^2] = 0 \Rightarrow P^- = -P^+$$

$$Q(z = -L) = |V^+|^2 \frac{\sin(\varphi_L - 2\beta L)}{Z_0} \quad Q(z = 0) = |V^+|^2 \frac{\sin(\varphi_L)}{Z_0}$$

Esempi: carico disadattato immaginario 2/2

$$P = \frac{|V^+|^2}{2Z_0} [1 - |\rho_L|^2] = 0 \Rightarrow P^- = -P^+$$

$$Q(z = -L) = |V^+|^2 \frac{\sin(\varphi_L - 2\beta L)}{Z_0} \quad Q(z = 0) = |V^+|^2 \frac{\sin(\varphi_L)}{Z_0}$$

Tutta la potenza attiva che entra all'ingresso della linea associata all'onda progressiva viene completamente riflessa dal carico e la potenza attiva fornita al carico è nulla (come del resto deve avvenire per un carico puramente immaginario). Nella linea è presente soltanto potenza reattiva che oscilla tra valori capacitivi ed induttivi. Anche sul carico è presente una potenza reattiva.

Esempi: carico complesso 1/2

$$Z_L = R_L + jX_L \Rightarrow \begin{cases} \rho_L = \frac{Z_L - Z_0}{Z_L + Z_0} = |\rho_L| e^{j\varphi_L} \Rightarrow \rho(-L) = |\rho_L| e^{j\varphi_L} e^{-2j\beta L} \\ Z_{\text{ing}} = Z_0 \frac{Z_L \cos(\beta L) + jZ_0 \sin(\beta L)}{Z_0 \cos(\beta L) + jZ_L \sin(\beta L)} = R_{\text{ing}} + jX_{\text{ing}} \end{cases}$$

In questo caso, il coefficiente di riflessione sul carico è una quantità complessa e l'impedenza di ingresso è una quantità complessa. La potenza complessa vale:

$$P = \frac{|V^+|^2}{2Z_0} [1 - |\rho_L|^2] = P^+ - P^-$$

$$Q(z = -L) = |V^+|^2 \frac{|\rho_L| \sin(\varphi_L - 2\beta L)}{Z_0} \quad Q(z = 0) = |V^+|^2 \frac{|\rho_L| \sin(\varphi_L)}{Z_0}$$

Esempi: carico complesso 2/2

$$P = \frac{|V^+|^2}{2Z_0} [1 - |\rho_L|^2] = P^+ - P^-$$

$$Q(z = -L) = |V^+|^2 \frac{|\rho_L| \sin(\varphi_L - 2\beta L)}{Z_0} \quad Q(z = 0) = |V^+|^2 \frac{|\rho_L| \sin(\varphi_L)}{Z_0}$$

La potenza attiva che entra all'ingresso della linea associata all'onda progressiva giunge sul carico e viene parzialmente riflessa.

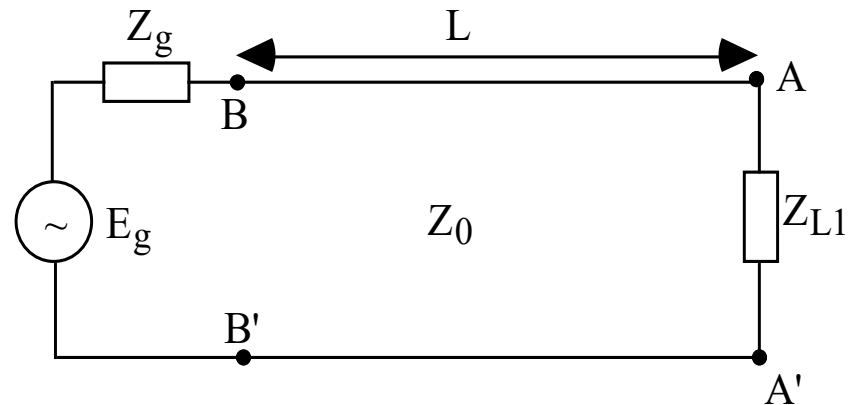
La potenza attiva totale presenta in una generica sezione della linea è pari alla differenza tra la potenza associata all'onda progressiva e quella associata all'onda regressiva.

In questo caso è presente anche una potenza reattiva che varia lungo la linea oscillando tra valori induttivi a capacitivi e viceversa. Si osservi che la potenza reattiva sul carico non è nulla in quanto il carico stesso è anche reattivo.

Esempi 1.1

E' dato il circuito mostrato in figura in cui $E_g=1 \text{ V}_{\text{eff}}$, $L=1.7 \lambda$, $Z_g=50 \Omega$, $Z_0=50 \Omega$, $Z_{L1}=100 + j 100 \Omega$.

Determinare la potenza attiva fornita al carico.



$$\rho_L = \frac{Z_L - Z_0}{Z_L + Z_0} = 0.538 + j0.307 \quad |\rho_L| e^{j\varphi_L} = 0.62 e^{j0.52}$$

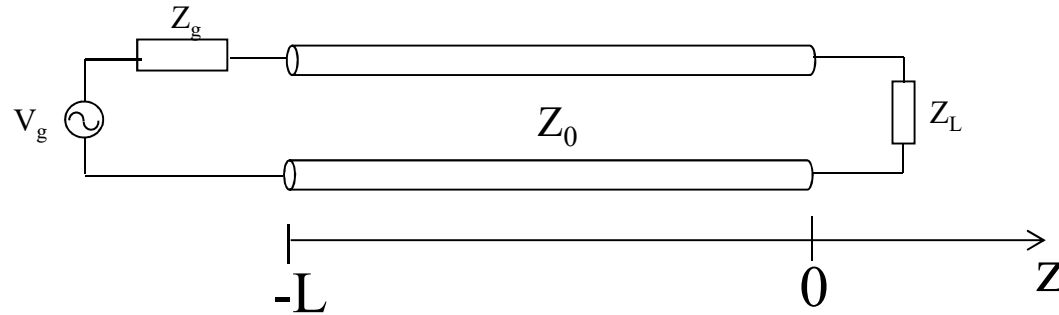
Esempi 1.2

$$\begin{aligned} Z_{\text{ing}} &= Z_0 \frac{Z_L \cos\left(2\pi \frac{L}{\lambda}\right) + jZ_0 \sin\left(2\pi \frac{L}{\lambda}\right)}{Z_0 \cos\left(2\pi \frac{L}{\lambda}\right) + jZ_L \sin\left(2\pi \frac{L}{\lambda}\right)} = \\ &= Z_0 \frac{Z_L Z_0 + j \frac{Z_0^2 - Z_L^2}{2} \sin\left(4\pi \frac{L}{\lambda}\right)}{\left[Z_0 \cos\left(2\pi \frac{L}{\lambda}\right)\right]^2 + \left[Z_L \sin\left(2\pi \frac{L}{\lambda}\right)\right]^2} = 16.25 - j29.85 \quad \Omega \end{aligned}$$

Poiché la linea è ideale, la potenza attiva fornita al carico coincide con la potenza attiva fornita all'impedenza di ingresso:

$$\begin{aligned} P_L = P_{\text{ing}} &= \frac{1}{2} \text{Re}\left[V_{\text{ing}} I_{\text{ing}}^*\right] = \frac{1}{2} \text{Re}\left[Z_{\text{ing}} I_{\text{ing}} I_{\text{ing}}^*\right] = \frac{1}{2} R_{\text{ing}} |I_{\text{ing}}|^2 \\ &= \frac{1}{2} R_{\text{ing}} \left| \frac{E_g}{Z_g + Z_{\text{ing}}} \right|^2 = 1.54 \quad \text{mW} \end{aligned}$$

Coefficiente di trasmissione al carico



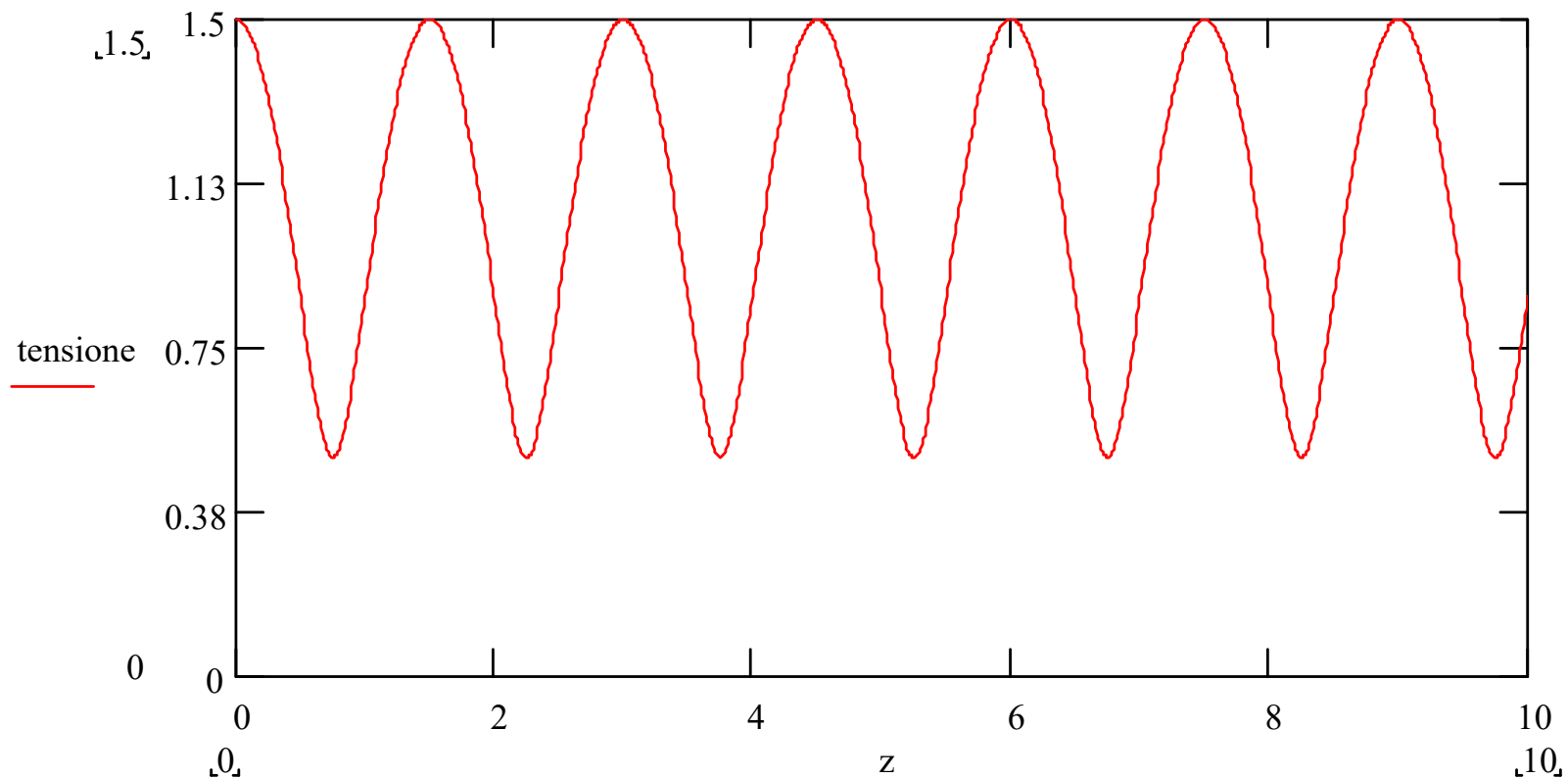
Definiamo il coefficiente di trasmissione al carico

$$\begin{aligned}\tau(0) &\triangleq \frac{V_L}{V^+(0)} = \frac{V^+ + V^-}{V^+} = \\ &= 1 + \rho(0) = 1 + \frac{Z_L - Z_0}{Z_L + Z_0} = \frac{2Z_L}{Z_L + Z_0}\end{aligned}$$

Linea di trasmissione

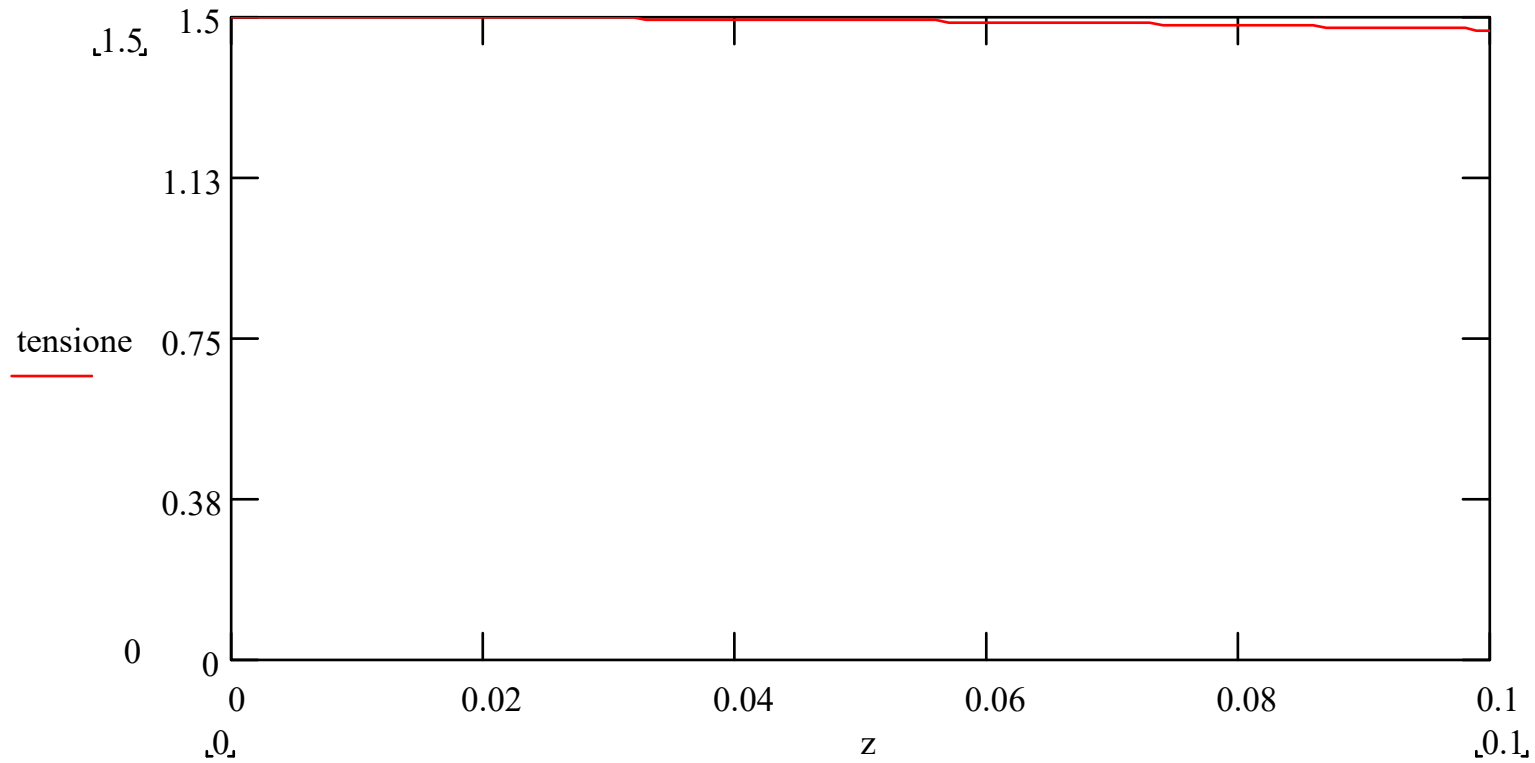
$$V(z) = V^+ e^{-j\beta z} + V^+ \rho(0) e^{j\beta z}$$

$V^+ = 1 \text{ V}$ $\rho(0) = 0,5$ $L = 10 \text{ m}$ $\text{freq} = 100 \text{ MHz}$

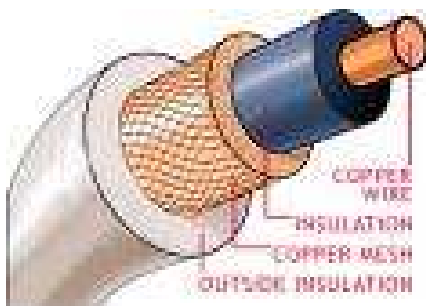


Linea di trasmissione ($L \ll \lambda$)

$V^+ = 1 \text{ V}$ $\rho(0) = 0,5$ $L = 10 \text{ cm}$ $\text{freq} = 100 \text{ MHz}$



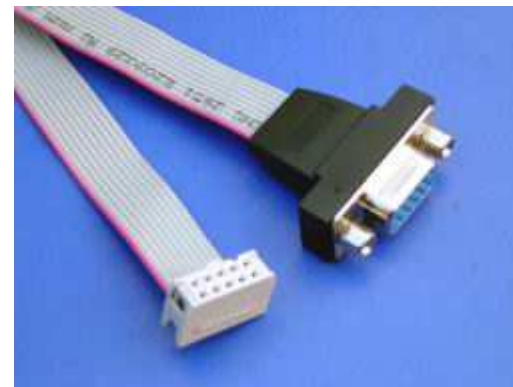
Che cosa è una linea di trasmissione



Cavo coassiale



Doppino
intrecciato



Cavo a nastro



Microstriscie



Linee elettriche

APPLET

APPLET: una linea di trasmissione adattata

<http://www.falstad.com/circuit/e-tl.html>

APPLET: terminazione di una linea

<http://www.falstad.com/circuit/e-tlterm.html>

APPLET: tre tronchi di linea con impulsi

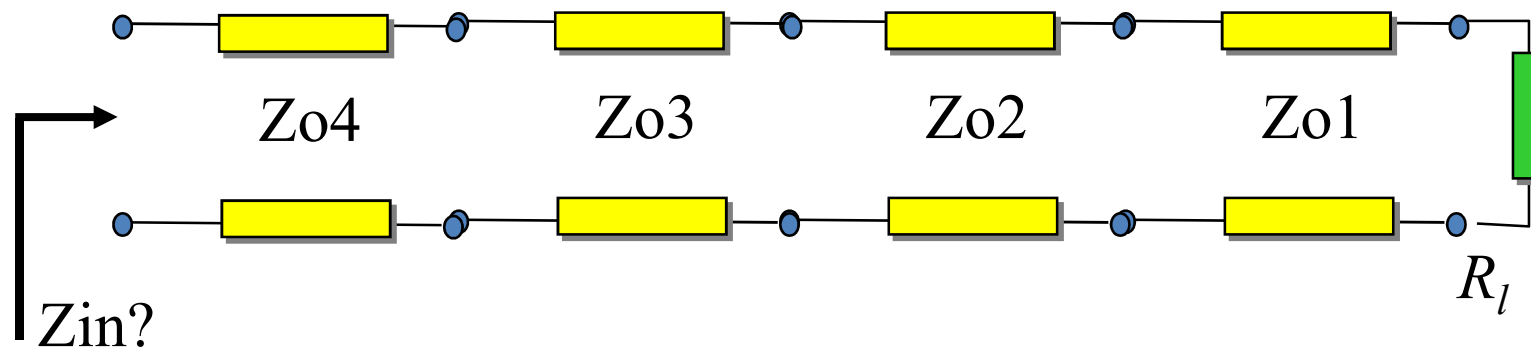
<http://www.falstad.com/circuit/e-tlmismatch.html>

APPLET: linea disadattata

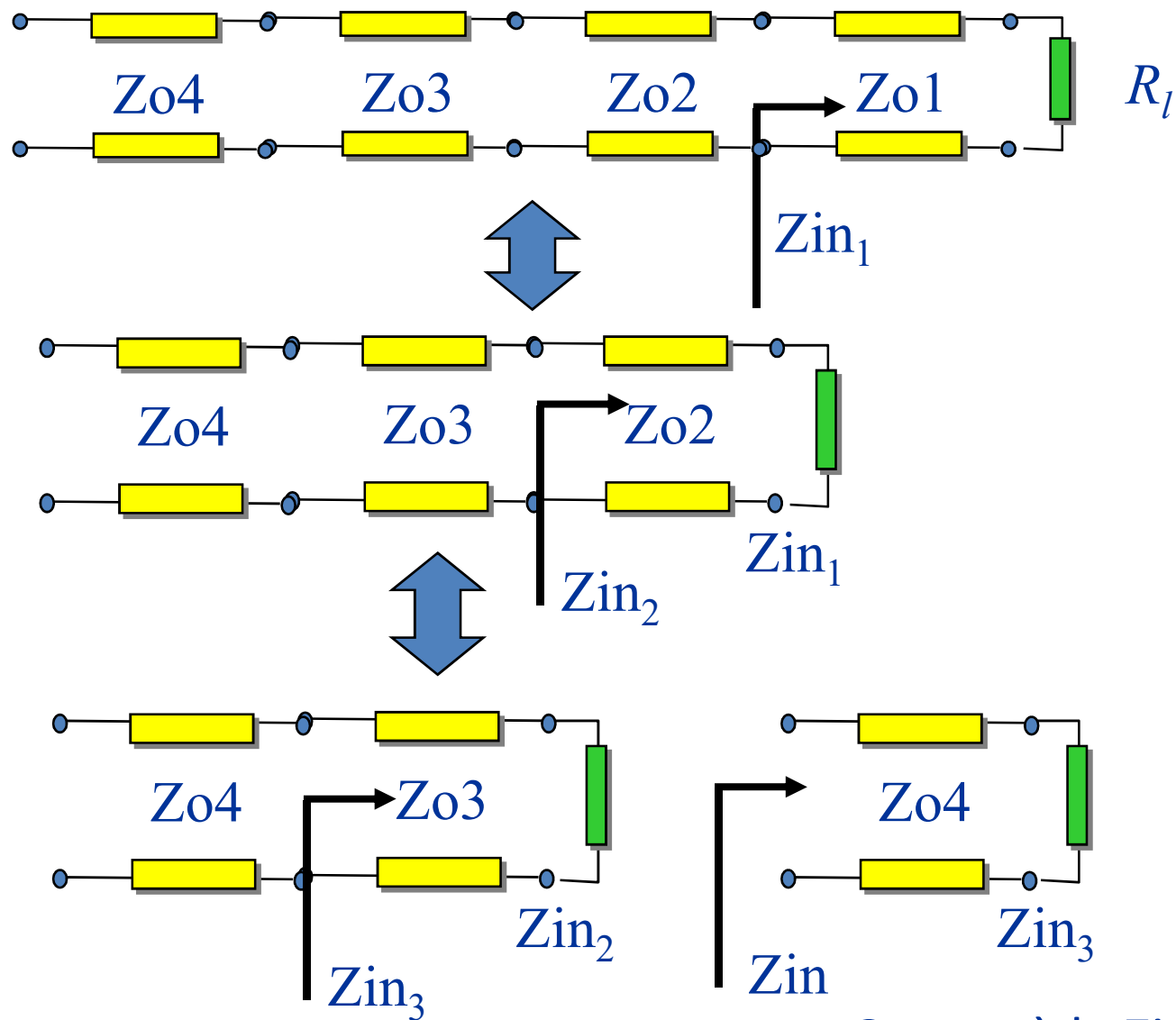
<http://www.amanogawa.com/archive/LoadResistance/LoadResistance.html>

Calcoli con le linee

- Se una linea è semi-infinita, non ci sono onde regressive, e quindi onde stazionarie: al suo ingresso vediamo impedenza pari all'impedenza caratteristica
- Se abbiamo una cascata di linee, possiamo iterare il calcolo dell'impedenza di ingresso, ed utilizzarla come carico della sezione successiva

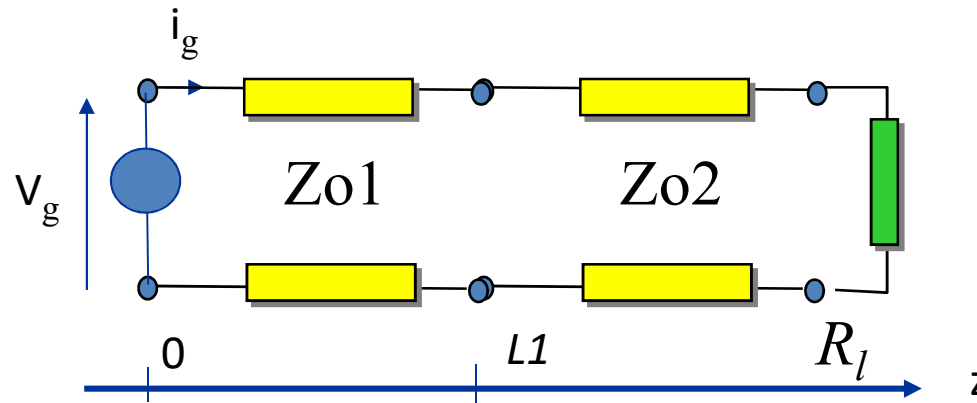


Calcoli con le linee



Calcoli con le linee: esempio

- Se volessimo determinare l'andamento delle tensioni e correnti punto per punto? Occorre applicare le condizioni al contorno esplicitamente
- Un esempio: generatore di tensione, due linee in cascata ed un carico



- Se ci siamo calcolati z_{in} in $z=0$, come descritto in precedenza, da v_g sappiamo calcolare la corrente i_g , essendo $v_g = Z_{in} i_g$. Allora: condizioni al contorno in $z=0$

Calcoli con le linee: esempio

$$V(0) = V_g = V_1^+ + V_1^- \quad I(0) = i_g = (V_1^+ - V_1^-) / Z_{01} = V_g / Z_{in1}$$

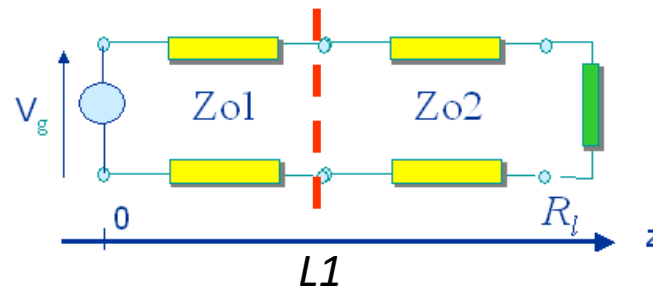
□ Da cui

$$V_1^+ = \frac{V_g}{2} \left(1 + \frac{Z_{01}}{Z_{in1}} \right) \quad V_1^- = \frac{V_g}{2} \left(1 - \frac{Z_{01}}{Z_{in1}} \right)$$

□ Quindi sappiamo l'andamento di v e i nella linea 1, visto che

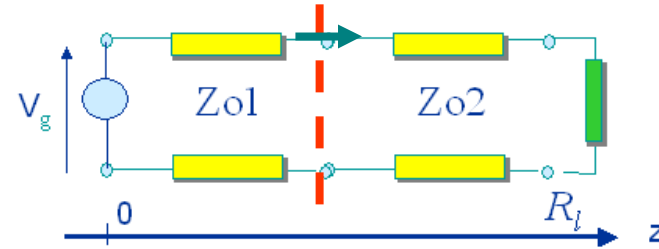
$$V_1(z) = V_1^+ e^{-j\beta_1 z} + V_1^- e^{j\beta_1 z}$$

□ Cosa succede nella linea 2? **In L1 la tensione deve essere continua:** c'è la stessa tensione leggermente a sinistra (linea1) e leggermente a destra



Calcoli con le linee: esempio

- Anche la corrente che esce dalla linea 1 è la stessa che entra nella linea 2

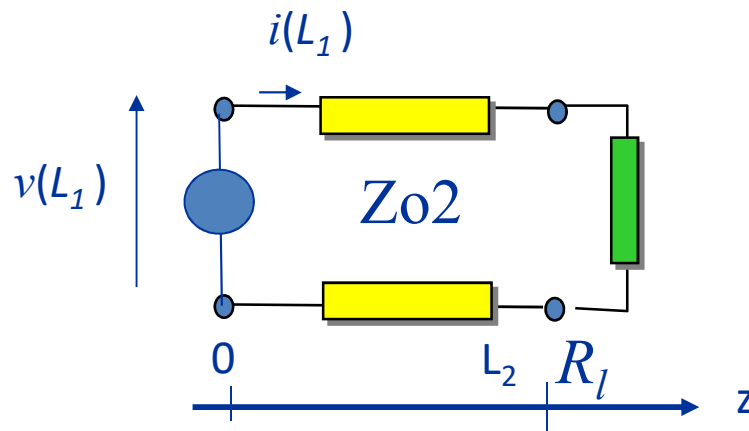


- Allora sappiamo che in L_1 ci saranno tensione e corrente

$$v(L_1) = v_1(L_1) = v_1^+ e^{-j\beta_1 L_1} + v_1^- e^{j\beta_1 L_1}$$

$$i(L_1) = i_1(L_1) = (v_1^+ e^{-j\beta_1 L_1} - v_1^- e^{j\beta_1 L_1}) / Z_{01}$$

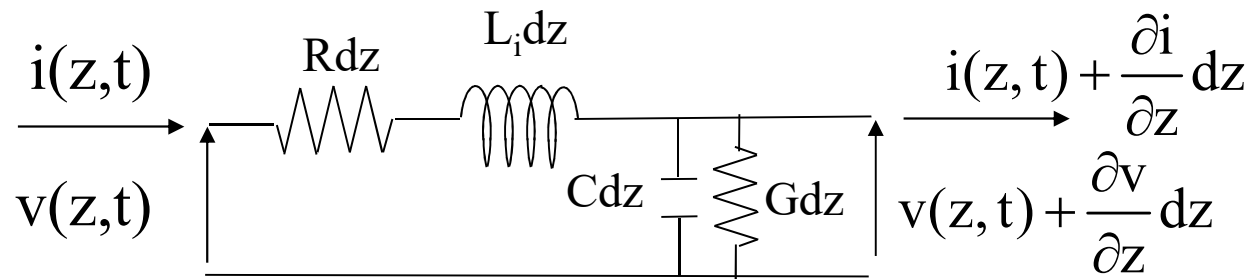
- Quindi il problema diventa



- E ripetiamo nella sezione la procedura di prima (oppure usiamo il coefficiente di riflessione spostando il sistema di riferimento in L_2 ...)

Linee con perdite

Le perdite in una linea sono dovute sia al conduttore che al dielettrico



Equazioni telegrafisti

$$\frac{\partial V(z)}{\partial z} = -(R + j\omega L_i)I(z) = -ZI(z)$$

$$\frac{\partial I(z)}{\partial z} = -(G + j\omega C)V(z) = -YV(z)$$

Equazioni d'onda

$$\frac{\partial^2 V(z)}{\partial z^2} = YZV(z) = \gamma^2 V(z)$$

$$\frac{\partial^2 I(z)}{\partial z^2} = YZI(z) = \gamma^2 I(z)$$

Linee con perdite

$$V(z) = V^+ e^{-\gamma z} + V^- e^{\gamma z}$$

Tensione

$$I(z) = \frac{V^+}{Z_0} e^{-\gamma z} - \frac{V^-}{Z_0} e^{\gamma z}$$

Corrente

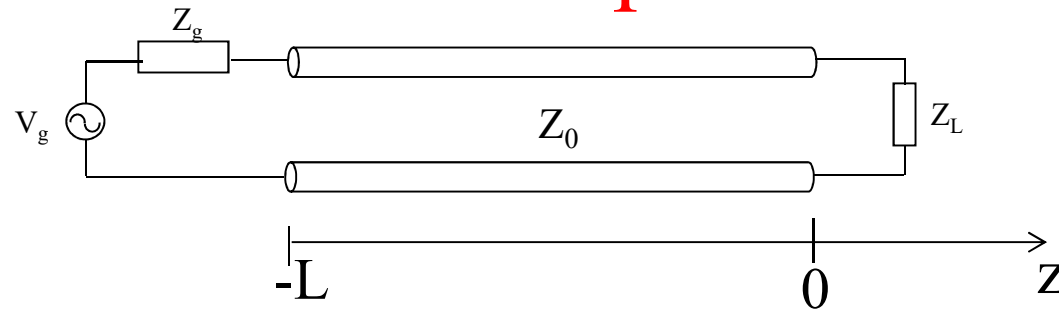
$$\gamma = \sqrt{ZY} = \sqrt{(R + j\omega L_i)(G + j\omega C)}$$

Costante di propagazione

$$Z_0 = \sqrt{\frac{Z}{Y}} = \sqrt{\frac{R + j\omega L_i}{G + j\omega C}}$$

Impedenza d'onda

Linee con perdite



$$\rho(z) \triangleq \frac{V^- e^{\gamma z}}{V^+ e^{-\gamma z}} = \frac{V^-}{V^+} e^{2\gamma z} = \rho(0) e^{2\gamma z} \quad \text{Coefficiente di riflessione}$$

$$\rho(0) = \frac{Z_L - Z_0}{Z_L + Z_0} \quad \text{Coefficiente di riflessione al carico}$$

Il coefficiente di riflessione si attenua lungo z

$$Z_{\text{IN}}(z) \triangleq \frac{V(z)}{I(z)} = Z_0 \frac{Z_L \cosh \gamma d + Z_0 \sinh \gamma d}{Z_0 \cosh \gamma d + Z_L \sinh \gamma d} \quad \text{Impedenza di ingresso}$$

d=distanza del punto z dal carico

Piccole perdite

$$R \ll \omega L_i$$

$$G \ll \omega C$$

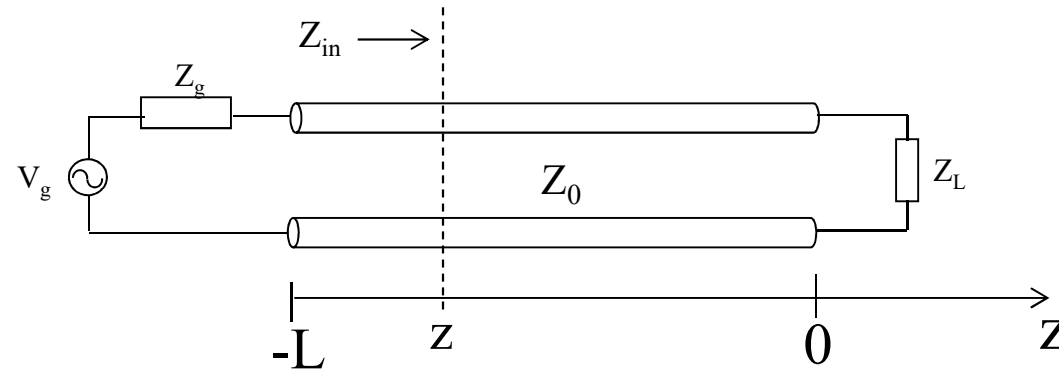
$$\gamma \simeq j\omega\sqrt{L_i C} \left[1 + \frac{1}{2j\omega} \left(\frac{R}{L_i} + \frac{G}{C} \right) \right]$$

$$\alpha \simeq \frac{R}{2R_0} + \frac{GR_0}{2} \quad \text{dove} \quad R_0 = \sqrt{\frac{L_i}{C}}$$

$$\beta = \frac{\omega_0}{v_f} = \frac{\omega_0}{c} \sqrt{\varepsilon_r} \quad \text{dove } \varepsilon_r \text{ è la costante dielettrica del mezzo}$$

$$Z_0 \simeq R_0 = v_f L = \frac{1}{v_f C}$$

Potenza trasferita nella linea



$$W(z) = \frac{1}{2} \operatorname{Re}(V(z) \cdot I^*(z))$$

$$V(z) = V^+ e^{-\gamma z} + V^+ \rho(0) e^{\gamma z} = V^+ e^{-\gamma z} + V^+ \rho(z) e^{-2\gamma z} e^{\gamma z} = V^+ e^{-\gamma z} (1 + \rho(z))$$

$$I(z) = \frac{V^+}{Z_0} e^{-\gamma z} (1 - \rho(z))$$

$$W(z) = \frac{1}{2} \operatorname{Re} \left(|V^+|^2 e^{-2\alpha z} (1 + \rho(z)) \cdot \left(\frac{1}{Z_0^*} (1 - \rho(z))^* \right) \right) =$$

$$\frac{1}{2} \operatorname{Re} \left(\frac{|V^+|^2 e^{-2\alpha z}}{Z_0^*} (1 + \rho(z)) \cdot (1 - \rho^*(z)) \right) = \frac{1}{2} \left(|V^+|^2 e^{-2\alpha z} \frac{R_0}{R_0^2 + X_0^2} (1 - |\rho(z)|^2) \right)$$

Potenza trasferita nella linea

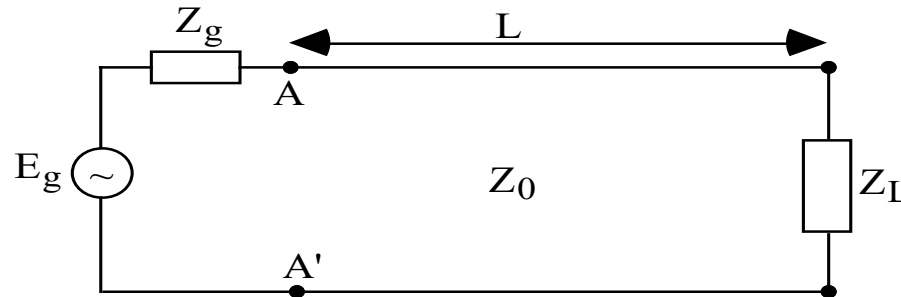
$$\begin{aligned} W(z) &= \frac{1}{2} \operatorname{Re} \left((V^+ e^{-\gamma z} + V^- e^{\gamma z}) \cdot \left(\frac{V^+}{Z_0} e^{-\gamma z} - \frac{V^-}{Z_0} e^{\gamma z} \right)^* \right) = \\ &\frac{1}{2} \operatorname{Re} \left((V^+ e^{-\gamma z} + V^- e^{\gamma z}) \cdot \left(\frac{V^{+*}}{Z_0^*} e^{-(\alpha-j\beta)z} - \frac{V^{-*}}{Z_0^*} e^{(\alpha-j\beta)z} \right) \right) \\ &\frac{1}{2} \operatorname{Re} \left(\frac{|V^+|^2}{Z_0^*} e^{-2\alpha z} - \frac{|V^-|^2}{Z_0^*} e^{2\alpha z} - e^{-j2\beta z} \frac{V^+ V^{-*}}{Z_0^*} + e^{j2\beta z} \frac{V^- V^{+*}}{Z_0^*} \right) \end{aligned}$$

In caso di piccole perdite Z_0 è reale

$$W(z) = \frac{1}{2} \left(\frac{|V^+|^2}{R_0} e^{-2\alpha z} - \frac{|V^-|^2}{R_0} e^{2\alpha z} \right) = P^+(z) - P^-(z)$$

Esempi 2.1

Nella linea mostrata in figura, in cui $E_g=10$ V, $Z_g=50$ Ω , $Z_0=70$ Ω , $L=0.75\lambda$, vengono effettuate delle misure che danno un R.O.S. pari a 3.2 ed un minimo di tensione a distanza 0.23λ dal carico. Determinare il carico Z_L della linea, la potenza fornita al carico ed i valori dei massimi di tensione.



$$L_{\min} = \left(\frac{\varphi_L}{4\pi} + \frac{2N+1}{4} \right) \lambda \Rightarrow \varphi_L = 4\pi \left(\frac{L_{\min}}{\lambda} - \frac{2N+1}{4} \right) = 4\pi(0.23 - 0.25) = -0.251$$

$$\text{ROS} = \frac{1+|\rho_L|}{1-|\rho_L|} \Rightarrow |\rho_L| = \frac{\text{ROS}-1}{\text{ROS}+1} = \frac{2.2}{4.2} = 0.523 \Rightarrow \rho_L = |\rho_L| e^{j\varphi_L} = 0.507 - j0.13$$

$$Z_L = Z_0 \frac{1+\rho_L}{1-\rho_L} = 195.6 - j70 \quad \Omega$$

Esempi 2.2

$$\begin{aligned} Z_{\text{ing}} &= Z_0 \frac{Z_L \cos\left(2\pi \frac{L}{\lambda}\right) + jZ_0 \sin\left(2\pi \frac{L}{\lambda}\right)}{Z_0 \cos\left(2\pi \frac{L}{\lambda}\right) + jZ_L \sin\left(2\pi \frac{L}{\lambda}\right)} = \\ &= Z_0 \frac{Z_L Z_0 + j \frac{Z_0^2 - Z_L^2}{2} \sin\left(4\pi \frac{L}{\lambda}\right)}{\left[Z_0 \cos\left(2\pi \frac{L}{\lambda}\right)\right]^2 + \left[Z_L \sin\left(2\pi \frac{L}{\lambda}\right)\right]^2} = 22.2 + j7.9 \quad \Omega \end{aligned}$$

Poiché la linea è ideale, la potenza attiva fornita al carico coincide con la potenza attiva fornita all'impedenza di ingresso:

$$\begin{aligned} P_L = P_{\text{ing}} &= \frac{1}{2} \text{Re}\left[\mathbf{V}_{\text{ing}} \mathbf{I}_{\text{ing}}^*\right] = \frac{1}{2} \text{Re}\left[Z_{\text{ing}} \mathbf{I}_{\text{ing}} \mathbf{I}_{\text{ing}}^*\right] = \frac{1}{2} R_{\text{ing}} |\mathbf{I}_{\text{ing}}|^2 \\ &= \frac{1}{2} R_{\text{ing}} \left| \frac{E_g}{Z_g + Z_{\text{ing}}} \right|^2 = 210 \quad \text{mW} \end{aligned}$$

Esempi 3.1

E' data una linea di trasmissione di impedenza caratteristica pari a 50Ω chiusa su di un carico incognito. Su tale linea vengono effettuate le seguenti misure:

a) $ROS=3$;

b) il primo minimo di tensione si trova sul carico.

Determinare il valore dell'impedenza di carico.

Essendo presente un minimo di tensione sul carico si può asserire che tale carico è puramente reale e che coincide con l'impedenza minima:

$$Z_{\text{ing}}(\text{min } V) = Z_{\text{min}} = Z_L = \frac{Z_0}{ROS} = 16.66 \quad \Omega$$

Onde piane e linee

- Per un'onda piana che si propaga lungo un asse z abbiamo visto che l'equazione d'onda (fasori) produce le soluzioni

$$E_x = E^+ e^{-j\beta z} + E^- e^{j\beta z}$$

$$H_y = \frac{E^+}{\eta} e^{-j\beta z} - \frac{E^-}{\eta} e^{j\beta z}$$

- Mentre le equazioni del telegrafista (linee) producono

$$V = V^+ e^{-j\beta z} + V^- e^{j\beta z} \quad i = \frac{v^+}{Z_0} e^{-j\beta z} - \frac{v^-}{Z_0} e^{j\beta z}$$

- Quindi, possiamo analizzare il comportamento delle onde piane per mezzo di “**linee equivalenti**”

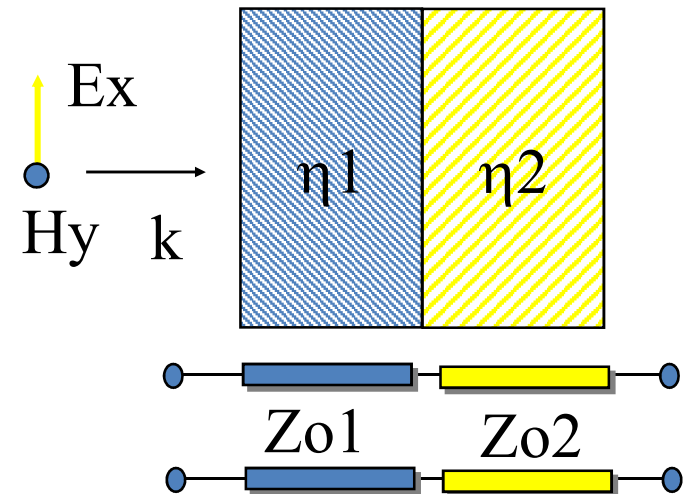
$\mathbf{E} \rightarrow V, \mathbf{H} \rightarrow I, \eta \rightarrow Z_0$

Onde piane e linee

- Cosa succede quando un'onda piana passa da un materiale ad un altro, incidendo ortogonalmente alla superficie di separazione?
- Per risolvere il problema dovremmo scrivere E ed H in ciascun mezzo, ed imporre le condizioni al contorno, ovvero continuità di E_t ed H_t all'interfaccia
- Ma nel risolvere il problema con le linee abbiamo imposto proprio che V ed I fossero continue tra le due linee

- Quindi il metodo ci consente anche di vedere cosa avviene in mezzi stratificati

$$\eta_1 \rightarrow Z_{o1}, \eta_2 \rightarrow Z_{o2} \dots$$

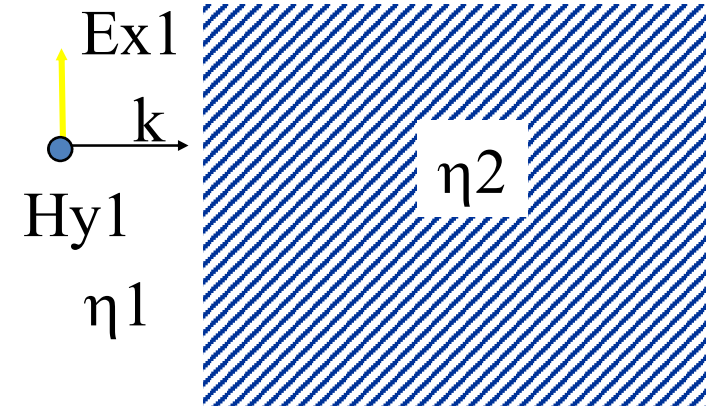


Onde piane e linee

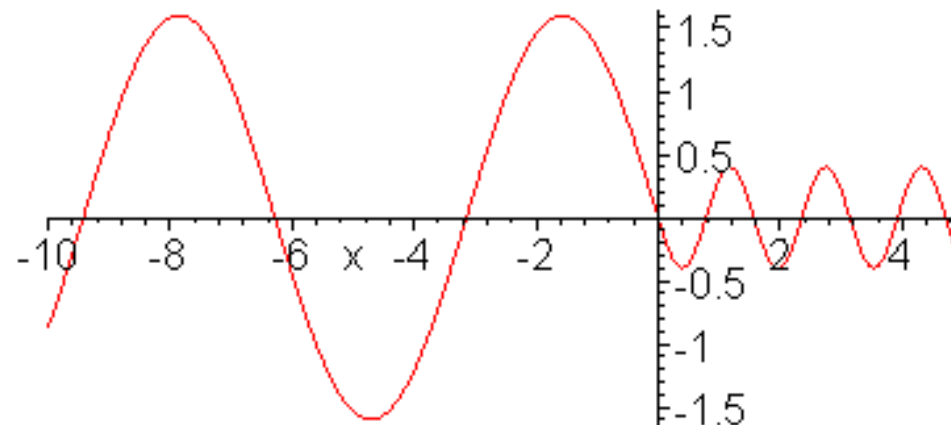
- Se per esempio l'onda viaggia in un mezzo con impedenza d'onda η_1 ed incide su un mezzo (semi-infinito) con impedenza d'onda η_2 , parte dell'onda verrà riflessa e parte passerà, essendo

$$E_{x1} = E_1^+ e^{-j\beta_1 z} + E_1^- e^{j\beta_1 z} = E_1^+ (e^{-j\beta z} + \rho e^{j\beta z})$$

$$\rho = \frac{\eta_2 - \eta_1}{\eta_2 + \eta_1}$$



$$E_{x2} = \tau E_1^+ e^{-j\beta_2 z} = (1 + \rho) E_1^+ e^{-j\beta_2 z}$$

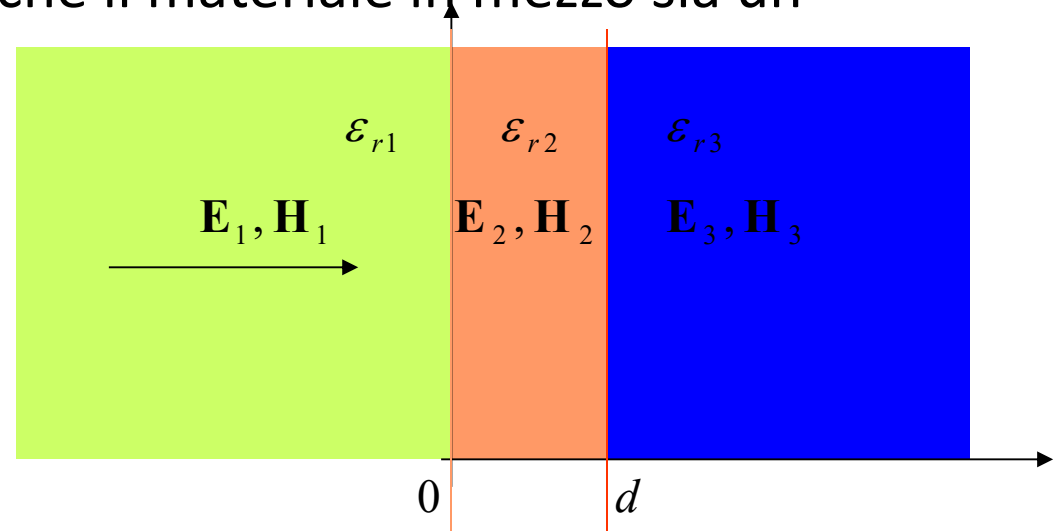


Onde piane in mezzi stratificati e linee

□ Nel caso di un'onda che viene da un mezzo ed incontra mezzi stratificati, possiamo usare tutto quanto visto per le linee! Sono vere anche le conclusioni

□ Immaginiamo per esempio che il materiale in mezzo sia un multiplo di $\lambda/2$

□ Questo sarebbe per esempio il caso se avessi un segnale a 1 GHz, e con il mezzo 2 aria, la lunghezza fosse $d=c/(2f)$, cioè 15 cm



□ In tal caso tutta la regione 2 sarebbe “trasparente” all’onda; e se i mezzi 1 e 3 fossero uguali, l’onda sarebbe completamente trasmessa